

1. まえがき

断面積が長さ方向に、階段状に不連続に変化するいわゆる階段状変断面ばりは構造物として、あるいは構造物の一部材として使用される。また、長さ方向に連続的に仕窓にとの大きさで変化する断面を有するばりの力学的性状は、適切に置換された階段状変断面ばりと解析することにより十分精密に把握することができます。

階段状変断面ばりの自由振動に関するのは、1個の断面急変部を有するばりの最低振動数と、積分方程式と用いて求めた Taleb, Supina⁽¹⁾ の近似解法や階段状変断面静定ばりの第1次振動数の下限値を明らかにした Buckens⁽²⁾ の decomposition method などがある。また、齋藤、佐藤は1個の断面急変部を有する片持ばりの自由振動性状と理論的および実験的に研究し、Bernoulli-Euler の初等曲げ理論からみたいかなる振動方程式により十分正確に振動性状を解析することができるこことを明らかにした。

この研究は、断面急変部にありても力が連続するものとして、仕窓個の断面を有する変断面ばりの自由振動を解析したものである。仕窓の境界条件をもつ階段状変断面ばりの振動数方程式および振動モードに関する、専門表現をえることできた。

2. 微分方程式

鉛直荷重密度、たわみ、曲げモーメントおよび曲げ剛性をそれぞれ $f(x)$, $\theta(x)$, $M(x)$, $EI(x)$ とすれば、直線ばりの基礎微分方程式の周知の式⁽³⁾である。

$$\frac{d^2\bar{M}}{dx^2} = -f(x) \quad (1-a), \quad \bar{M}(x) = -EI(x) \frac{d^2\bar{\theta}}{dx^2} \quad (1-b)$$

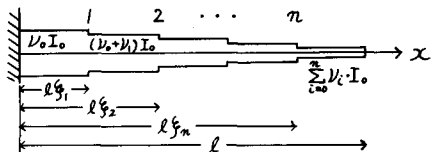


図-1 階段状変断面ばり

図-1に示す階段状変断面ばりの断面2次モーメント $I(x)$ は、単位階段函数 $u(x-a_i)$ を用いて

$$I(x) = I_0 \sum_{i=0}^n \nu_i u(x-a_i) \quad (2)$$

ただし、 ν_i は i 番目の断面急変部における断面2次モーメントの増加率であり、これは断面急変部の較である。

式(1-a), (1-b)および(2)より、階段状変断面ばりの基礎微分方程式として次式⁽²⁾がえられる。

$$\frac{d^2\bar{M}}{dx^2} = -f(x) \quad (3-a), \quad \bar{M} = -EI_0 \sum_{i=0}^n \nu_i u(x-a_i) \frac{d^2\bar{\theta}}{dx^2} \quad (3-b)$$

3. 自由振動方程式

式(3-a), (3-b)より階段状変断面ばりの自由振動方程式が導かれる。図-1のばりの単位長当りの質量 $p(x)$ は

$$p(x) = p_0 \sum_{i=0}^n \mu_i u(x-a_i) \quad (4)$$

ただし、 μ_i は i 番目の不連続部における単位長質量の増加率である。したがって、慣性力 \bar{f} は

$$\bar{f} = -p_0 \sum_{i=0}^n \mu_i u(x-a_i) \frac{\partial^2\bar{\theta}}{\partial t^2} \quad (5)$$

と表わすことができる。所要の曲げ振動方程式は、減衰性、回転慣性を無視して

$$\frac{\partial^2\bar{M}}{\partial x^2} = p_0 \sum_{i=0}^n \mu_i u(x-a_i) \frac{\partial^2\bar{\theta}}{\partial t^2} \quad (6-a), \quad \bar{M} = -EI_0 \sum_{i=0}^n \nu_i u(x-a_i) \frac{\partial^2\bar{\theta}}{\partial x^2} \quad (6-b)$$

式(6-a), (6-b)は次の2式

$$\bar{f}(x, t) = f^*(x) \sin \omega t, \quad \bar{M}(x, t) = M^*(x) \sin \omega t, \quad \omega: 固有角振動数$$

を代入し、変数 x を無次元変数 $\eta = x/l$ に置き換え、改めて $y = y^*/l$, $M = -\lambda M^*/EI_0$ とすれば、無次元化された方程式が曲率モード x の基準函数 y , M に関する次式が得られる。

$$\frac{d^2M}{d\eta^2} = \lambda^4 + \sum_{i=0}^m u_i u(\eta - \beta_i) y \quad (7 \cdot a), \quad M = EI_0 \sum_{i=0}^m v_i u(\eta - \beta_i) \frac{dy}{d\eta} \quad (7 \cdot b)$$

ここで $\lambda^4 = p_0 \omega^2 l^4 / EI_0$, $\beta_i = \alpha_i / l$, l : 部材全長

このとき、無次元化された方角 $\theta(\eta)$ およびせん断力 $Q(\eta)$ は

$$\theta(\eta) = \frac{dy}{d\eta} \quad (7 \cdot c), \quad Q = \frac{dM}{d\eta} \quad (7 \cdot d)$$

4. 微分方程式的解

Laplace 変換を用いて、連立微分方程式 (7・a), (7・b) の解 $y(\eta)$, $M(\eta)$ が求まると、式 (7・c), (7・d) より $\theta(\eta)$, $Q(\eta)$ が求まる。結果は次のとおりである。

$$y(\eta) = \sum_{k=0}^{\infty} \sum_{m=1}^4 [y(0) \cdot a_{1km} + \theta(0) \cdot a_{2km} + M(0) \cdot a_{3km} + Q(0) \cdot a_{4km}] f_{1km}(\eta) \cdot u(\eta - \beta_k) \quad (8 \cdot a)$$

$$\theta(\eta) = \sum_{k=0}^{\infty} \sum_{m=1}^4 [y(0) \cdot a_{1km} + \theta(0) \cdot a_{2km} + M(0) \cdot a_{3km} + Q(0) \cdot a_{4km}] f_{2km}(\eta) \cdot u(\eta - \beta_k) \quad (8 \cdot b)$$

$$M(\eta) = \sum_{k=0}^{\infty} \sum_{m=1}^4 [y(0) \cdot a_{1km} + \theta(0) \cdot a_{2km} + M(0) \cdot a_{3km} + Q(0) \cdot a_{4km}] f_{3km}(\eta) \cdot u(\eta - \beta_k) \quad (8 \cdot c)$$

$$Q(\eta) = \sum_{k=0}^{\infty} \sum_{m=1}^4 [y(0) \cdot a_{1km} + \theta(0) \cdot a_{2km} + M(0) \cdot a_{3km} + Q(0) \cdot a_{4km}] f_{4km}(\eta) \cdot u(\eta - \beta_k) \quad (8 \cdot d)$$

ここで、 $a_{pkm} = \sum_{i=0}^{k-1} \sum_{j=1}^4 f_{mij}(\beta_k) \cdot a_{pj}$ ($p, m = 1, 2, 3, 4$), $a_{pm} = \delta_{pm}$ ($p \neq m$), $f_{1km}(\eta) = \begin{cases} g_{0m}(\eta - \beta_k) - g_{km}(\eta - \beta_k) & (m=1, 2) \\ \beta_k g_{0m}(\eta - \beta_k) - \beta_k g_{km}(\eta - \beta_k) & (m=3, 4) \end{cases}$, $f_{2km}(\eta) = \begin{cases} \frac{\lambda_k^4}{\beta_k^2} g_{0s}(\eta - \beta_k) - \frac{\lambda_k^4}{\beta_k} g_{ks}(\eta - \beta_k) & (m=1, 2) \\ f_{1kt}(\eta) & (m=3, 4), (S=m+2, t=m-2) \end{cases}$

$$f_{3km}(\eta) = \frac{d}{d\eta} \{ f_{1km}(\eta) \} \quad (s=2, 4, t=s-1, m=1, 2, 3, 4)$$

$$f_{4km}(\eta) = \frac{d^s}{d\eta^s} \left\{ \frac{1}{2\lambda_k^3} (\sinh \lambda_k \eta - \sin \lambda_k \eta) \right\} \quad (p, m = 1, 2, 3, 4, s = 3+p-m)$$

$$g_{km}(\eta) = \frac{d^s}{d\eta^s} \left\{ \frac{1}{2\lambda_k^3} (\sinh \lambda_k \eta - \sin \lambda_k \eta) \right\} \quad (m = 1, 2, 3, 4, s = 4-m)$$

$$\beta_k = \frac{1}{\sum_{i=0}^{k-1} v_i}, \quad \lambda_k^4 = \beta_k \sum_{i=0}^{k-1} u_i \cdot \lambda^4$$

5. 振動方程式および振動モード

1例として2個の不連続部をもつ単純支持変截面(1)の振動方程式と振動モードを示す。

$$\text{振動方程式} \quad \left| \begin{array}{cc} \sum_{k=0}^{\infty} \sum_{m=1}^4 a_{2km} \cdot f_{1km}(1) & \sum \sum a_{tkm} \cdot f_{1km}(1) \\ \sum \sum a_{2km} \cdot f_{3km}(1) & \sum \sum a_{4km} \cdot f_{3km}(1) \end{array} \right| = 0$$

$$\text{振動モード} \quad y(\eta) = \theta(0) \sum_{k=0}^{\infty} \sum_{m=1}^4 (a_{2km} - \alpha_m a_{4km}) f_{1km}(\eta) \cdot u(\eta - \beta_k), \quad \alpha_m = \frac{\sum_{k=0}^{\infty} a_{2km} \cdot f_{1km}(1)}{\sum \sum a_{4km} \cdot f_{4km}(1)}$$

6. 数値解析例

講演時に示す。

(参考文献)

- (1) N.J. Taleb and E.W. Sappiger, *Vibration of Stepped Beams*, J. Aerospace Sciences, April, 1961
- (2) F. Buckens, *Eigenfrequencies of Nonuniform Beams*, AIAA Journal, 1963
- (3) 斎藤秀雄, 佐藤秀紀 「急変断面を有する3弹性(1)の振動」 日本機械学会論文集, 昭43-5